

# CONSERVATION LAWS IN THE MODELING OF FLUIDS PUMPED IN PIPES: ANALYTICAL AND NUMERICAL RESULTS

Marco Fenaroli

Relatore: Prof. Rinaldo M. Colombo  
Correlatore: Prof. Alessandro Musesti

16 Dicembre 2013

- Gas/Vapore Comprimibile non Viscoso

$\rho$  = Densità di Massa

$q$  = Densità di Quantità di Moto

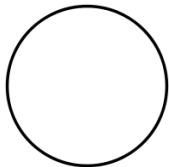
- Gas/Vapore Comprimibile non Viscoso
- Isoterma/Isoentropico

$\rho$  = Densità di Massa

$q$  = Densità di Quantità di Moto

- Gas/Vapore Comprimibile non Viscoso
- Isoterma/Isoentropico
- Tubo di Sezione Costante

$x \in \mathbb{R}$



- Gas/Vapore Comprimibile non Viscoso
- Isoterma/Isoentropico
- Tubo di Sezione Costante
- **Equazione di stato**

$$p(\rho) \in C^2(\mathring{\mathbb{R}}^+; \mathbb{R}^+)$$

$$p'(\rho) > 0, p''(\rho) \geq 0, \forall \rho \in \mathring{\mathbb{R}}^+$$

$$\boxed{\gamma = 1}$$

$$p(\rho) = \rho c^2$$

$$\boxed{\gamma > 1}$$

$$p(\rho) = p_* \left( \frac{\rho}{\rho_*} \right)^\gamma$$

- Gas/Vapore Comprimibile non Viscoso
- Isoterma/Isoentropico
- Tubo di Sezione Costante
- Equazione di stato
- Conservazione della Massa

$$\partial_t \rho + \partial_x q = 0$$

- Gas/Vapore Comprimibile non Viscoso
- Isoterma/Isoentropico
- Tubo di Sezione Costante
- Equazione di stato
- Conservazione della Massa
- Conservazione della Quantità di Moto

$$\partial_t \rho + \partial_x \left( \frac{q^2}{\rho} + p(\rho) \right) = 0$$

- Gas/Vapore Comprimibile non Viscoso
- Isoterma/Isoentropico
- Tubo di Sezione Costante
- Equazione di stato
- Conservazione della Massa
- **Bilancio** della Quantità di Moto
- **Compressore**



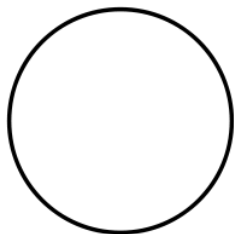
- **Liquido Incomprimibile non Viscoso**

$A$  = Sezione Bagnata

$Q$  = Portata Volumetrica

- Liquido Incomprimibile non Viscoso
- Tubo di Sezione Costante

$x \in \mathbb{R}$



- Liquido Incomprimibile non Viscoso
- Tubo di Sezione Costante
- Legge di Pressione

$$p(A) \in C^2(\mathring{\mathbb{R}}^+; \mathbb{R}^+)$$
$$p'(A) > 0, p''(A) \geq 0, \forall A \in \mathring{\mathbb{R}}^+$$

- Liquido Incomprimibile non Viscoso
- Tubo di Sezione Costante
- Legge di Pressione
- **Conservazione della Massa**

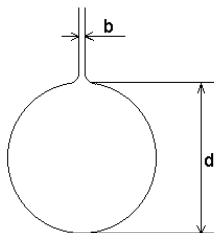
$$\partial_t A + \partial_x Q = 0$$

- Liquido Incomprimibile non Viscoso
- Tubo di Sezione Costante
- Legge di Pressione
- Conservazione della Massa
- Conservazione della Quantità di Moto

$$\partial_t Q + \partial_x \left( \frac{Q^2}{A} + p(A) \right) = 0$$

- Liquido Incomprimibile non Viscoso
- Tubo di Sezione Costante
- Legge di Pressione
- Conservazione della Massa
- Conservazione della Quantità di Moto
- **Preissmann Slot**

Modifica  $p(A)$   
⇓  
Modifica Sezione Tubo  
⇓  
Apertura Parte Alta Tubo



$$p(h) = g \begin{cases} \frac{1}{3k} h^3 & 0 \leq h \leq h_1 \\ rh^2 - kr^2 h + \frac{1}{3} k^2 r^3 & h_1 < h \leq h_2 \\ -\frac{1}{3k} h^3 + \frac{2}{k} rh^2 + \left(\pi - \frac{4}{k}\right) r^2 h + \\ + \left(\frac{1}{3} k^2 + \frac{\pi^3}{24k}\right) r^3 & h_2 < h \leq h_P \\ \frac{1}{2} w_P h^2 + \left(\pi r^2 - 2r w_P + \frac{k}{4} w_P^2\right) h + \\ -\pi r^3 + 2r^2 w_P - \frac{k}{2} r w_P^2 + \frac{k^2}{4} w_P^3 & h_P < h \end{cases}$$

$$h(A) = \begin{cases} \sqrt{kA} & 0 \leq A \leq A_1 \\ \frac{1}{2r} A + \frac{k}{2} r & A_1 < A \leq A_2 \\ 2r - \sqrt{k(\pi r^2 - A)} & A_2 < A \leq A_P \\ \frac{1}{w_P} A - \frac{\pi}{w_P} r^2 - \frac{k}{4} w_P + 2r & A_P < A \end{cases}$$

con  $k = 2 - \frac{\pi}{2}$ ,  $h_1 = kr$ ,  $h_2 = \frac{\pi}{2}r$

- Liquido Incomprimibile non Viscoso
- Tubo di Sezione Costante
- Legge di Pressione
- Conservazione della Massa
- **Bilancio** della Quantità di Moto
- Preissmann Slot
- **Pompa**



- Conservazione della Massa

$$q_l - q_r = 0$$

- Conservazione della Massa

$$q_l - q_r = 0$$

- Conservazione della Massa
- Bilancio della Quantità di Moto

$$P(\rho_l, q_l) - P(\rho_r, q_r) = J(H) \quad \Rightarrow \quad P(\rho, q) : \text{Pressione Dinamica}$$

- Conservazione della Massa
- Bilancio dell'Energia

$$F(\rho_l, q_l) - F(\rho_r, q_r) = K(H) \quad \Rightarrow \quad F(\rho, q) : \text{Flusso di Entropia}$$

- Conservazione della Massa
- Bilancio della Quantità di Moto

$$\Psi_1 : \begin{cases} q_l - q_r & = 0 \\ \frac{q_l^2}{\rho_l} + p(\rho_l) - \frac{q_r^2}{\rho_r} - p(\rho_r) & = \rho g H \end{cases}$$

- Conservazione della Massa
- Bilancio dell'Energia

$$\Psi_2 : \begin{cases} q_l - q_r & = 0 \\ \frac{q_l}{\rho_l} \left( \frac{q_l^2}{2\rho_l} + \rho_l \int_{\rho^*}^{\rho_l} \frac{p'(r)}{r} dr \right) - \frac{q_r}{\rho_r} \left( \frac{q_r^2}{2\rho_r} + \rho_r \int_{\rho^*}^{\rho_r} \frac{p'(r)}{r} dr \right) & = \rho g H \end{cases}$$

- Conservazione della Massa
- Bilancio della Quantità di Moto

$$\Psi_1 : \begin{cases} q_l - q_r & = 0 \\ \frac{q_l^2}{\rho_l} + p(\rho_l) - \frac{q_r^2}{\rho_r} - p(\rho_r) & = \rho g H \end{cases}$$

ANALOGO PER LIQUIDI

- Conservazione della Massa
- Bilancio dell'Energia

$$\Psi_2 : \begin{cases} q_l - q_r & = 0 \\ \frac{q_l}{\rho_l} \left( \frac{q_l^2}{2\rho_l} + \rho_l \int_{\rho^*}^{\rho_l} \frac{p'(r)}{r} dr \right) - \frac{q_r}{\rho_r} \left( \frac{q_r^2}{2\rho_r} + \rho_r \int_{\rho^*}^{\rho_r} \frac{p'(r)}{r} dr \right) & = \rho g H \end{cases}$$

- Shock e Soluzioni Deboli

- ✓ Interazioni Shock-Pompa  $\Rightarrow$  Problemi Costruttivi
- ✓ Formulazione Debole
- ✓ Condizioni di Rankine-Hugoniot

- Shock e Soluzioni Deboli
- Problema di Riemann

$$\left\{ \begin{array}{l} \partial_t \rho_i + \partial_x q_i \\ \partial_t q_i + \partial_x \left( \frac{q_i^2}{\rho_i} + p(\rho_i) \right) \\ (\rho_i, q_i)(0, x) \end{array} \right. = \begin{array}{l} 0 \\ 0 \\ (\bar{\rho}_i, \bar{q}_i) \end{array} \quad i \in \{l, r\}$$

Nei Tubi  $\Rightarrow$  Lax, 1956

- Shock e Soluzioni Deboli
  - Problema di Riemann
  - Problema di Cauchy
- 
- ✓ Soluzione Debole  $\Rightarrow$  Mappa  $u \in C^0([0, T]; \bar{u} + L^1)$
  - ✓ Condizione al Giunto Verificata per q.o.  $t \in \mathbb{R}^+$
  - ✓ *Entropia-Flusso di Entropia*  $\Rightarrow$  Selezione Soluzione

Nei Tubi  $\Rightarrow$  Bressan, 1995

- Shock e Soluzioni Deboli
- Problema di Riemann
- Problema di Cauchy
- **Condizioni al Giunto**

GAS

LIQUIDI

Quantità di Moto

Energia

$$\left\{ \begin{array}{l} \partial_t \rho_l + \partial_x q_l = 0 \\ \partial_t q_l + \partial_x \left( \frac{q_l^2}{\rho_l} + p(\rho_l) \right) = 0 \\ \partial_t \rho_r + \partial_x q_r = 0 \\ \partial_t q_r + \partial_x \left( \frac{q_r^2}{\rho_r} + p(\rho_r) \right) = 0 \\ q_l - q_r = 0 \\ P(\rho_l, q_l) - P(\rho_r, q_r) = J(H) \end{array} \right.$$

- Shock e Soluzioni Deboli
  - Problema di Riemann
  - Problema di Cauchy
  - Condizioni al Giunto
  - Teorema - Ipotesi
- 
- ✓  $f$  sufficientemente regolare
  - ✓ Autovalori di  $Df_i(\bar{u})$ :  $\lambda_1(\bar{u}) < 0 < \lambda_n(\bar{u})$
  - ✓ Mappa con

$$\det[D_l \Psi(\bar{u}) r_2^l(\bar{u}_l) \quad D_r \Psi(\bar{u}) r_2^r(\bar{u}_r)] \neq 0$$



- Shock e Soluzioni Deboli
- Problema di Riemann
- Problema di Cauchy
- Condizioni al Giunto
- Teorema - Tesi

$\exists \delta, L > 0$  e Mappa  $S : [0, +\infty[ \times \mathcal{D} \mapsto \mathcal{D}$  t.c.

- 1 DOMINIO:  $\mathcal{D} \supseteq \{u \in \bar{u} + L^1 : TV(u) < \delta\}$ ;
- 2 SEMIGRUPPO:  $\forall u \in \mathcal{D}, S_0 u = u, \forall s, t \geq 0: S_s S_t u = S_{s+t} u$
- 3 LIPSCHITZIANITÀ in  $L^1$ :  $\forall u, w \in \mathcal{D}, \forall s, t \geq 0$ :  
$$\|S_t u - S_s w\|_{L^1} \leq L \cdot (\|u - w\|_{L^1} + |t - s|)$$
- 4  $u \in \mathcal{D}$  Costante a Tratti  $\rightarrow S_t u \equiv$  Soluzione Problemi di Riemann Centriati nei Punti di Salto

# Integrazioni Numeriche

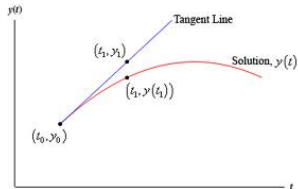
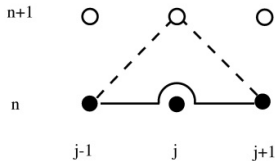
- Algoritmi

Lax-Friedrichs  $\Rightarrow$  Parte Convettiva

Eulero Esplicito  $\Rightarrow$  Parte Sorgente

Metodo di Newton  $\Rightarrow$  Giunto

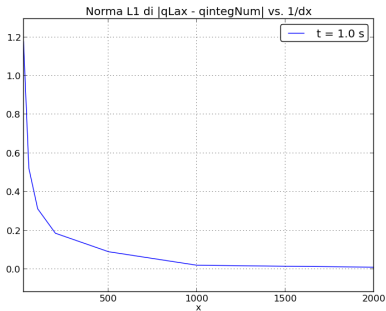
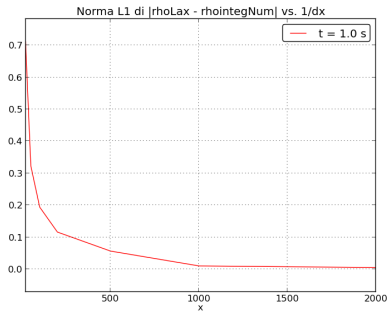
## Parametri



# Integrazioni Numeriche

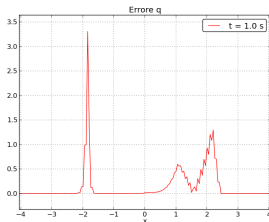
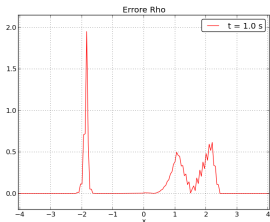
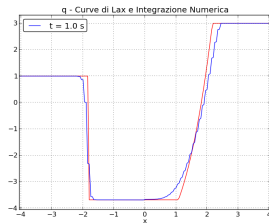
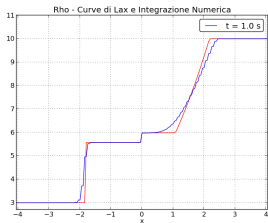
## • Algoritmi

- ▶ Controllo Conservazione
- ▶ Stima dell'Errore il  $L^1$



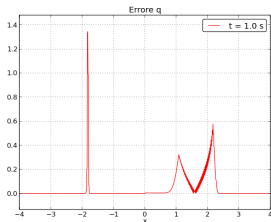
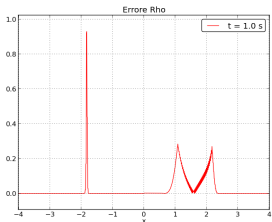
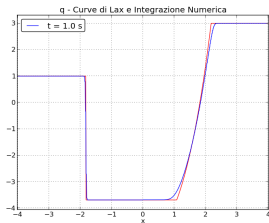
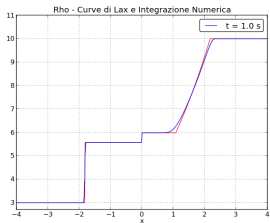
# Integrazioni Numeriche - Algoritmi

$dx = 0.05$



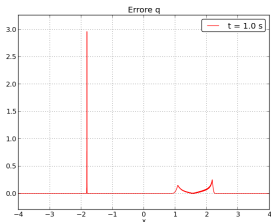
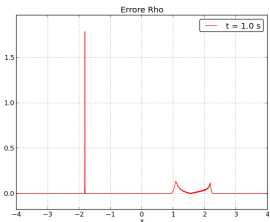
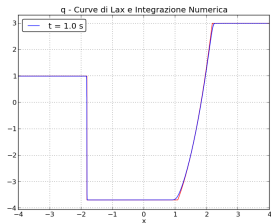
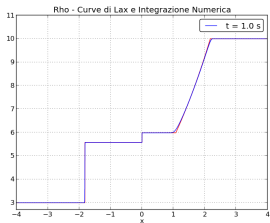
# Integrazioni Numeriche - Algoritmi

$dx = 0.01$



# Integrazioni Numeriche - Algoritmi

$dx = 0.002$



Gas - Compressore

Gas - Turbina

Gas - Periodicità

Gas - Transitorio Iniziale

Liquido - Transitorio Iniziale con Attrito

Liquido - Transitorio Iniziale con Attrito

## Integrazioni Numeriche - Conclusioni

- ✓ Quattro modelli 1D che descrivono la dinamica di fluidi pompanti in tubi
- ✓ Effetto della pompa su quantità di moto o energia totale del fluido
- ✓ Tempi di calcolo dell'ordine di minuti e memoria richiesta di pochi Mega
- ✓ Modello competitivo con quelli che prevedono una descrizione 3D

# Integrazioni Numeriche - Conclusioni

- ✓ Quattro modelli 1D che descrivono la dinamica di fluidi pompati in tubi
- ✓ Effetto della pompa su quantità di moto o energia totale del fluido
- ✓ Tempi di calcolo dell'ordine di minuti e memoria richiesta di pochi Mega
- ✓ Modello competitivo con quelli che prevedono una descrizione 3D

## Possibili Sviluppi Futuri

- ✓ Confronto tra risultati sperimentali e numerici
- ✓ Stima dei parametri per la taratura del modello
- ✓ Controllo Ottimale dei transitori della pompa

GRAZIE per l'ATTENZIONE

